

Formulario —Mecánica Orbital

Datos de uso común

TIERRA	UNIDADES CANÓNICAS	OTROS
$R_{\oplus} = 6378,14 \text{ km}$	$UT_{\oplus} = 806,8117 \text{ s} = 13,447 \text{ min}$	$J_2 = 0,001083, J_3 = -2,534 \times 10^{-6}$
$\mu_{\oplus} = 398600,4 \text{ km}^3/\text{s}^2$	$UV_{\oplus} = 7,9054 \text{ km/s}$	$\lambda_{22} = 123^{\circ}, J_{22} = -5,35 \cdot 10^{-6}$
$L_{\oplus} = 1 \text{ AU} = 149,598 \cdot 10^6 \text{ km}$	$UT_{\odot} = 58,1324 \text{ días}$	$\epsilon = 23,5^{\circ}, e_{\oplus} = 0,0167, \omega_{\oplus} = 114,2^{\circ}$
$T_{\oplus} = \frac{2\pi}{\omega_{\oplus}} = 23 \text{ h } 56 \text{ m } 4 \text{ s}$	$UV_{\odot} = 29,7847 \text{ km/s}$	$\mu_{\odot} = 132712439935,5 \text{ km}^3/\text{s}^2$
$\omega_{\oplus} = 7,29 \cdot 10^{-5} \text{ rad/s} = 0,004178^{\circ}/\text{s}$		$L_{\mathbb{C}} = 384400 \text{ km}, R_{\mathbb{C}} = 1738 \text{ km}, \mu_{\mathbb{C}} = 4902,8 \text{ km}^3/\text{s}^2$

Problema de los dos cuerpos

Ecuación diferencial: $\ddot{\vec{r}} = -\mu \frac{\vec{r}}{r^3}$, donde $\mu \approx Gm$. Solución (cónica): $r = \frac{p}{1 + e \cos \theta}$, donde e =excentricidad, θ =anomalía verdadera.

Parámetro de la cónica: $p = \frac{h^2}{\mu}$, Momento angular específico: $\vec{h} = \vec{r} \times \vec{v}$. $h = vr \cos \gamma$, Vel. areolar $\dot{A} = r^2 \dot{\theta} / 2 = h/2$

Energía específica: $\epsilon = \frac{v^2}{2} - \frac{\mu}{r} = -\frac{\mu}{2a} \rightarrow v = \sqrt{\frac{2\mu}{r} - \frac{\mu}{a}}$ Velocidades: Circular: $v_c = \sqrt{\frac{\mu}{r}}$, Escape: $v_e = \sqrt{\frac{2\mu}{r}}$, Exceso: $v_{\infty} = \sqrt{\frac{-\mu}{a}}$. Ángulo de trayectoria (γ) verifica: $\tan \gamma = \frac{e \sin \theta}{1 + e \cos \theta}$. Período: $T = 2\pi \sqrt{\frac{a^3}{\mu}}$ Vectores: Nodal $\vec{n} = \frac{\vec{k}_R \times \vec{h}}{\|\vec{k}_R \times \vec{h}\|}$. Excentricidad: $\vec{e} = \frac{\vec{v} \times \vec{h}}{\mu} - \frac{\vec{r}}{r}$.

Cónicas

ELIPSE: $p = a(1 - e^2), b = a\sqrt{1 - e^2}, c = ae, a^2 = b^2 + c^2$
 $(0 < e < 1)$ $r_p = \frac{p}{1 + e} = a(1 - e), r_a = \frac{p}{1 - e} = a(1 + e), a = \frac{r_a + r_p}{2}, e = \frac{r_a - r_p}{r_a + r_p}$

PARÁBOLA: $e = 1, r_p = \frac{p}{2}, a = c = r_a = \infty, \gamma = \frac{\theta}{2}, \theta \in (-180^{\circ}, 180^{\circ})$

HIPÉRBOLA: $a, b, c < 0: p = a(1 - e^2), b = a\sqrt{e^2 - 1}, c = ae, c^2 = b^2 + a^2,$
 $(e > 1)$ $r_p = \frac{p}{1 + e} = a(1 - e), \delta = 2 \operatorname{sen}^{-1} \left(\frac{1}{e} \right), \theta_{\infty} = \cos^{-1} \left(-\frac{1}{e} \right), \theta \in (-\theta_{\infty}, \theta_{\infty})$

Leyes Horarias:

ELIPSE: $\tan(\theta/2) = \sqrt{\frac{1+e}{1-e}} \tan(E/2) \leftrightarrow M = E - e \operatorname{sen} E \leftrightarrow M = n\Delta t \leftrightarrow n = \sqrt{\mu/a^3}, r = a(1 - e \cos E), \cos \theta = \frac{\cos E - e}{1 - e \cos E}$. Mét. Newton: $E_{k+1} = E_k - \frac{f(E_k)}{f'(E_k)}$, donde $f(E) = M - E + e \operatorname{sen} E$. Recurrencia: $E_{k+1} = M + e \operatorname{sen} E_k$, Relación $\theta \leftrightarrow \gamma: \theta = 0^{\circ}, 180^{\circ}: \gamma = 0^{\circ}, \theta \in (0^{\circ}, 180^{\circ}): \gamma > 0, \theta \in (180^{\circ}, 360^{\circ}): \gamma < 0$.

PARÁBOLA: $B = 3 \sqrt{\frac{\mu}{p^3}} \Delta t \leftrightarrow 2B = 3 \tan \left(\frac{\theta}{2} \right) + \tan^3 \left(\frac{\theta}{2} \right) \leftrightarrow \tan \left(\frac{\theta}{2} \right) = z - \frac{1}{z}, z = \sqrt[3]{B + \sqrt{B^2 + 1}}$

HIPÉRBOLA: $\tan(\theta/2) = \sqrt{\frac{1+e}{e-1}} \tanh(H/2), N = e \operatorname{senh} H - H, N = n\Delta t, n = \sqrt{\frac{\mu}{-a^3}}$

Elementos Orbitales Clásicos

Si $e = 0 \rightarrow \omega, \theta$ indefinidos: $u = \omega + \theta$. Si $i = 0^{\circ} \rightarrow \Omega, \omega$ indefinidos: $\varpi = \Omega + \omega$.

Si $e = 0, i = 0^{\circ} \rightarrow \Omega, \omega, \theta$ indefinidos: $\lambda_T = \Omega + \omega + \theta$.

$i = \cos^{-1} \left(\frac{h_z}{|h|} \right)$, con $i \in (0^{\circ}, 180^{\circ})$, $\omega = \cos^{-1} \left(\frac{\vec{n} \cdot \vec{e}}{e} \right)$ si $e_z > 0, \theta = \cos^{-1} \left(\frac{\vec{r} \cdot \vec{e}}{re} \right)$ si $\vec{r} \cdot \vec{v} > 0, \Omega = \cos^{-1} (n_x)$ si $n_y > 0$.

Traza/lanzamiento

$\cos i = \operatorname{sen} A_Z \cos \phi$, donde A_Z =azimut, ϕ =latitud.

$\operatorname{sen} \phi = \operatorname{sen} u \operatorname{sen} i \quad || \quad \tan \lambda_u = \operatorname{tan} u \cos i$

$\cos \lambda_u = \frac{\cos A_Z}{\operatorname{sen} i}, \text{GST}(t_2) = \text{GST}(t_1) + (t_2 - t_1)\omega_{\oplus}$

$\lambda_u + \Omega = \text{LST} = \text{GST} + \lambda = \text{GST}_0 + \lambda + \omega_{\oplus}$

$\dot{\phi} = \frac{\tan \phi}{\tan u} \dot{u}, \dot{\lambda} = -\omega_{\oplus} + \frac{\cos i}{\cos^2 \phi} \dot{u}$

$\dot{u} = \dot{\theta} = n \frac{(1 + e \cos \theta)^2}{(1 - e^2)^{3/2}}, \text{retrograda si } \dot{\lambda} < 0$

CRITERIO ÁNGULOS:

Cruce S \nearrow N: $u \in [-90^{\circ}, 90^{\circ}], N \searrow S: u \in [90^{\circ}, 270^{\circ}]$

$\exists u = 0^{\circ}$. MÁX. $\phi: u = 90^{\circ}$. $\exists u = 180^{\circ}$. MÍN. $\phi: u = 270^{\circ}$

Órbita directa ($i < 90^{\circ}$): λ_u mismo cuadrante que u .

Retrógrada ($i > 90^{\circ}$): λ_u cuadrante opuesto a u .

Órbita polar ($i = 90^{\circ}$): Cruce S \nearrow N $\rightarrow u = \phi, \lambda_u = 0^{\circ}$
 $N \nearrow S \rightarrow u = 180^{\circ} - \phi, \lambda_u = 180^{\circ}$

Cobertura: $\cos \Gamma = \frac{R_{\oplus}}{R_{\oplus} + h}$, (h =altitud, Γ =radio angular). **Instrumental:** $\Gamma = \operatorname{sen}^{-1} \left(\frac{R_{\oplus} + h}{R_{\oplus}} \operatorname{sen} \alpha \right) - \alpha$

donde α =ángulo visibilidad instrumento. **Ancho huella:** $w = 2R_{\oplus} \Gamma$ (Γ en rad.). **Área:** $2\pi R_{\oplus}^2 (1 - \cos \Gamma)$.

Circunferencia esférica de radio Γ centrada en ϕ_0, λ_0 : $\operatorname{sen} \phi = \operatorname{sen} \phi_0 \operatorname{cos} \Gamma + \operatorname{cos} \phi_0 \operatorname{sen} \Gamma \operatorname{cos} A$.

$\cos \Delta \lambda = \frac{\cos \Gamma - \operatorname{sen} \phi_0 \operatorname{sen} \phi}{\cos \phi_0 \cos \phi}, \lambda = \lambda_0 \pm \Delta \lambda (+ \text{ si } A \in [0, 180^{\circ}], - \text{ si } A \in [180, 360^{\circ}])$.

Distancia ortodrómica: $\cos \alpha = \operatorname{sen} \phi_0 \operatorname{sen} \phi + \operatorname{cos} \phi_0 \operatorname{cos} \phi \cos(\lambda_0 - \lambda)$. Dentro si $\alpha \leq \Gamma$.

Visibilidad: $(\phi, \lambda): h(t) = \operatorname{sen}^{-1} \left[(r \cos \psi - R_{\oplus}) (r^2 + R_{\oplus}^2 - 2R_{\oplus} r \cos \psi)^{-1/2} \right]$, visible si $h > h_{min}$,

donde $\psi: \cos \psi = \cos \phi [\cos(LST - \Omega) \cos(\omega + \theta) + \operatorname{sen}(LST - \Omega) \operatorname{sen}(\omega + \theta) \operatorname{cos} i] + \operatorname{sen}(\omega + \theta) \operatorname{sen} i \operatorname{sen} \phi$.

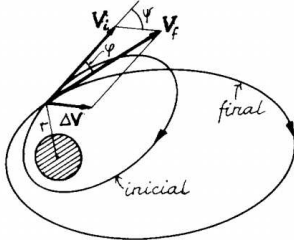
Si \vec{r}_{sat} conocido: $\cos \Psi = \frac{\vec{r}_{sat} \cdot \vec{r}_e}{\vec{r}_{sat} R_{\oplus}}$, donde \vec{r}_{sat}, \vec{r}_e mismo sist. ref.

Perturbaciones seculares debidas al J_2

$$\dot{\Omega} = -\frac{3}{2}n \frac{R_\oplus^2}{p^2} J_2 \cos i. \dot{\omega} = \frac{3}{4}n \frac{R_\oplus^2}{p^2} J_2 (5 \cos^2 i - 1) \quad \dot{M} = n + \frac{3}{4}n \frac{R_\oplus^2}{p^2} J_2 \sqrt{1-e^2} (2 - 3 \sin^2 i). \text{Inclinación crítica: } i = \arccos \sqrt{\frac{1}{5}}.$$

Órbita heliosíncrona (circular): $\cos i \left(\frac{R_\oplus}{R_\oplus + h} \right) = -0,0989. \delta = \Omega - AR_M. HSM = HSM_0 + \frac{\lambda_u}{15}$, donde $HSM_0 = \frac{\delta}{15} + 12$.

Maniobras



MANIOBRA GENERAL: $\Delta V^2 = V_i^2 + V_f^2 - 2V_i V_f \cos \varphi$, donde V_i =Vel. inicial, V_f =Vel. final, φ =Ángulo entre V_i y V_f ($\gamma_f \cdot \sin \psi = \frac{V_f \sin \varphi}{\Delta V}$, ψ =Ángulo entre V_i y ΔV). $\omega_i + \theta_i = \omega_f + \theta_f$ si maniobra plana. Solución

$A \sin \theta + B \cos \theta = C$: si $C^2 \leq A^2 + B^2$, $\theta = \pm \cos^{-1}(C/D) + \theta_0$, con $D = \sqrt{A^2 + B^2}$, $\cos \theta_0 = B/D$, $\sin \theta_0 = A/D$.

MANIOBRA DE CAMBIO DE LÍNEA DE ÁPSIDES: $\theta_i = \frac{\Delta \omega}{2} \rightarrow \gamma_i \rightarrow \Delta V = 2V \sin \gamma_i$.

MANIOBRA DE CAMBIO DE PLANO: $(i_1, \Omega_1 \rightarrow i_2, \Omega_2)$. $\cos \varphi = \cos i_1 \cos i_2 + \sin i_1 \sin i_2 \cos(\Omega_2 - \Omega_1)$, $\Delta V = 2V \sin \frac{\varphi}{2}$. Si $\Omega_2 = \Omega_1 \rightarrow \varphi = \Delta i = i_2 - i_1$. Si $i_1 = i_2 \rightarrow \sin \frac{\varphi}{2} = \sin i_1 \sin \frac{\Delta \Omega}{2}$.

$\sin \varphi = \frac{\sin i_1 \sin i_2 \sin(\Omega_2 - \Omega_1)}{\sin \varphi}$, donde φ =latitud donde se realiza la maniobra.

MANIOBRA DE Δi DE 3 IMPULSOS: $\lambda_{OPT} = \frac{\sin \Delta i / 2}{1 - 2 \sin \Delta i / 2}$, con $\lambda = \frac{r_2}{r_1} > 1$. **MANIOBRA DE PHASING:** $T_{ph} = T_{sat} \left(1 \pm \frac{v}{2\pi k} \right)$, con k n° de vueltas, v adelanto(+) o retraso(-). **GASTO COMBUSTIBLE:** $\Delta V = V_e \ln \frac{m_0 + m_p}{m_0}$, $V_e = I_{sp} g_0$. I_{sp} =impulso específico, $g_0 = 9,81 \text{ m/s}^2$.

Misiones lunares e interplanetarias

Esfera de influencia($m_2 \ll m_1$): $R_e = L \left(\frac{\mu_2}{\mu_1} \right)^{2/5}$. Per. sinódico: $T_P^{sin} = \frac{1}{|1/T_\oplus^H - 1/T_P^H|}$.

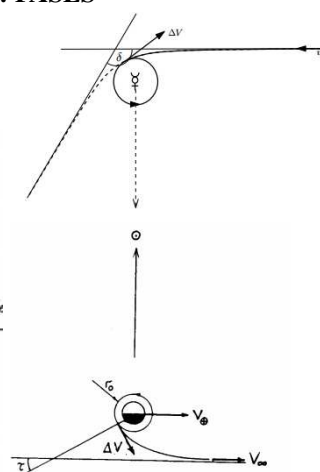
MISIONES LUNARES: De la figura: $r_L = \sqrt{L_{\mathbb{Q}}^2 + R_{e\mathbb{Q}}^2 - 2L_{\mathbb{Q}} R_{e\mathbb{Q}} \cos \lambda}$.

$\Psi = \theta_L - \beta - n_{\mathbb{Q}} t_v$, donde β se obtiene de $r_L \sin \beta = R_{e\mathbb{Q}} \sin \lambda$.

órbita selenocéntrica: $\vec{V}_L^S = \vec{V}_L^G - \vec{V}_{\mathbb{Q}}$. $V_L^S = \sqrt{(V_L^G)^2 + V_{\mathbb{Q}}^2 - 2V_L^G V_{\mathbb{Q}} \cos(\gamma_L^G - \beta)}$.

$\gamma_L^S = |\delta| - 90^\circ$ donde δ verifica $V_L^S \sin \delta = V_{\mathbb{Q}} \cos \lambda - V_L^G \cos(\gamma_L^G - \lambda - \beta)$.

MISIONES INTERPLANETARIAS: FASES



$C_3 = v_\infty^2$, C_3 =parámetro característico de la misión. $v_i = v_\oplus \pm v_\infty$ si salida es tangencial, con (+) para planeta superior y (-) para planeta inferior.

De la figura: $\tau = 180 - \theta_\infty$. $\Psi = \theta_p - n_p t_v$, Ψ =Ángulo de fase.

Otros

Traza repetida: $T_{sat} = \frac{m}{k} T_\oplus$, donde m n° días hasta repetirse, k n° revoluciones del sat. por repetición. Retraso nodal: $\Delta \lambda = -(\omega_\oplus - \dot{\Omega}) T_N^{SAT}$.

Traza uniformemente compartida por n sats con $T_{sat} = T_\oplus/k$: $M_j = M_0 + j \frac{2\pi k}{n}, \Omega_j = \Omega_0 - j \frac{2\pi}{n}$, con M_0, Ω_0 del 1er satélite, $j = 1, \dots, n$.

“Frozen orbit” de altitud constante: $\omega = 90^\circ$, $e \approx -\frac{1}{2} \frac{J_3}{J_2} \left(\frac{R_\oplus}{a} \right) \sin i \sin \omega$. Sol: $u_\odot = \frac{360^\circ}{365,25} D$ siendo D =días desde equinoccio de Prim.

$\delta_\odot = \arcsen(\sin \epsilon \sin u_\odot)$, $AR_\odot = \arctan(\cos \epsilon \tan u_\odot)$, $HSA = (LST - AR_\odot)/15 + 12$. $HSM = UT + \lambda/15$.

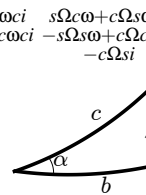
Radio circ. eclipse a en h : $\text{sen} \Gamma = R_\oplus / (R_\oplus + h)$ centrado en $\delta_o = -\delta_\odot$, $AR_o = AR_\oplus + 180^\circ$ donde o =punto antipodal al sol.

Áng. horario S: $H_S = LST - AR_S$. Círculo visible: $\Phi = \arccos \left[\frac{R_\oplus \cos h_{min}}{R_\oplus + h_{SAT}} \right] - h_{min}$.

Días Julianos: $JD = 367A - \left[7/4 \left(A + \lfloor \frac{M+9}{12} \rfloor \right) \right] + \left[\frac{275M}{9} \right] + D + 1721013,5$.

$$\vec{r}^F = \frac{P}{1+e \cos \theta} \begin{bmatrix} \cos \theta \\ \sin \theta \\ 0 \end{bmatrix}, \vec{v}^F = \sqrt{\frac{\mu}{P}} \begin{bmatrix} -\sin \theta \\ \cos \theta + e \\ 0 \end{bmatrix}, C_R^F = \begin{bmatrix} c \Omega c \omega - s \Omega s \omega i & s \Omega c \omega + c \Omega s \omega i & s \omega i \\ -c \Omega s \omega - s \Omega c \omega i & -s \Omega s \omega + c \Omega c \omega i & c \omega i \\ s \Omega s i & -c \Omega s i & 0 \end{bmatrix}$$

$$\text{Trig. Esférica: } \begin{cases} \frac{\sin a}{\sin \alpha} = \frac{\sin b}{\sin \beta} = \frac{\sin c}{\sin \gamma} \\ \cos \alpha = -\cos \beta \cos \gamma + \sin \beta \sin \gamma \cos a \\ \cos a = \cos b \cos c + \sin b \sin c \cos \alpha \\ S = (\alpha + \beta + \gamma - \pi)R^2 \end{cases}$$



TRIÁNGULOS ESFÉRICOS TÍPICOS

